

И. В. Украинец, Л. В. Сидоренко, О. В. Горохова, Н. Л. Березнякова,
С. В. Шишкина^a

4-ГИДРОКСИХИНОЛОНЫ-2

109*. АЛКИЛИРОВАНИЕ ЭТИЛОВЫХ ЭФИРОВ 4-ЗАМЕЩЕННЫХ 2-ОКСО-1,2-ДИГИДРОХИНОЛИН-3-КАРБОНОВЫХ КИСЛОТ

Изучено алкилирование этиловых эфиров 4-метил-, 4-хлор- и 4-аминозамещенных 2-оксо-1,2-дигидрохинолин-3-карбоновых кислот этилиодидом в системе ДМФА/ K_2CO_3 . Обсуждаются особенности строения исходных соединений и их влияние на соотношение между образованием N- и O-алкильных производных.

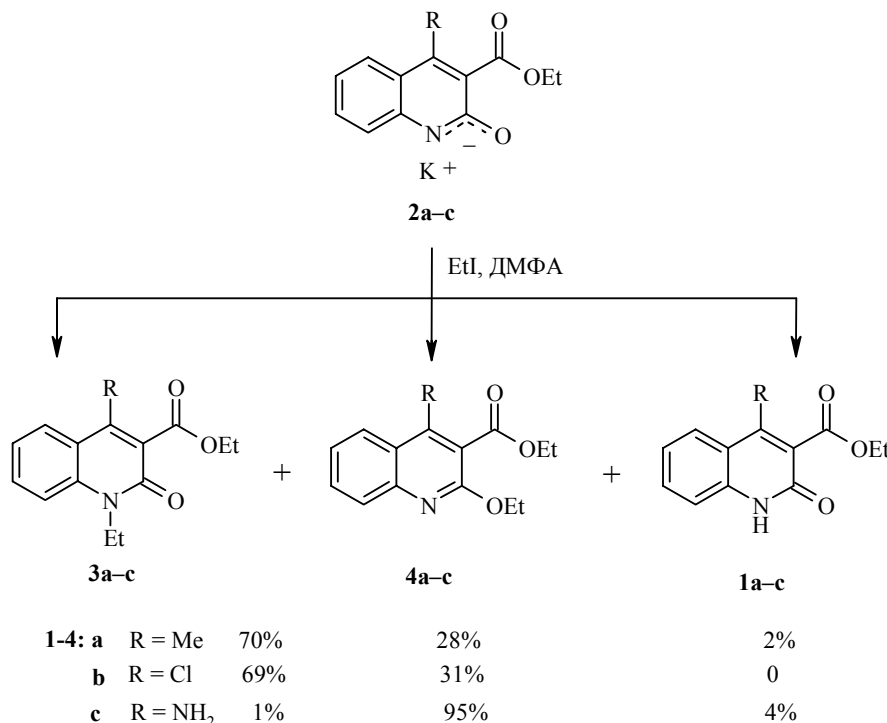
Ключевые слова: 2-оксо-1,2-дигидрохинолины, 1Н-хинолин-2-оны, алкилирование, РСА.

Алкилирование α -оксо(гидрокси)азагетероциклов редко проходит однозначно. Как правило, в результате таких реакций образуются смеси соответствующих N- и O-алкилзамещенных производных, зачастую содержащие некоторое количество исходного соединения [2–5]. Преимущественное образование того или иного изомера определяют многие причины: заместители в алкилируемом образце, строение и размер вводимой алкильной группы (в случае алкилгалогенидов существенное влияние оказывает и галоген), применяемое для генерирования аниона основание, растворитель и другие условия проведения эксперимента. Поэтому влияние внешних и структурных факторов на алкилирование α -оксо(гидрокси)азагетероциклов представляет особый интерес и стало предметом изучения многих исследователей [5–7].

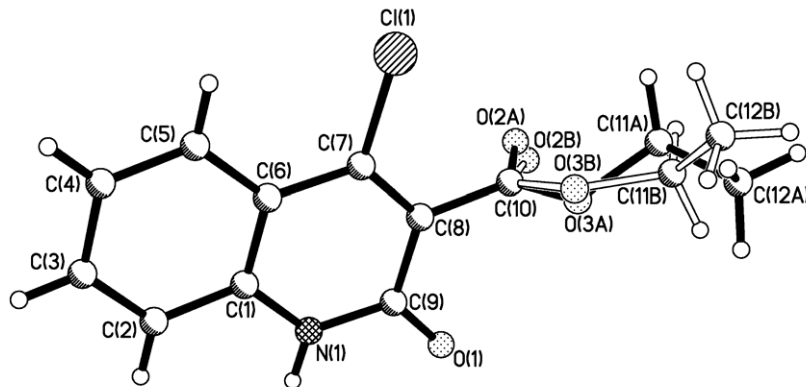
Проведенные нами эксперименты показали, что алкилирование этилового эфира 4-метил-2-оксо-1,2-дигидрохинолин-3-карбоновой кислоты (**1a**) этилиодидом в системе ДМФА/ K_2CO_3 (т. е. фактически амбидентного аниона **2a**) дает смесь продуктов реакции. По данным хромато-масс-спектра, основным ее компонентом (70%) является N-этилхинолон **3a**. Минорный остаток (28%) идентифицирован как 2-этоксихинолин **4a** при 2% не вступившего в реакцию исходного NH-эфира **1a**. Направление алкилирования такого рода соединений, как известно [6], в большой степени зависит от положения тautомерного равновесия. Ранее при детальном изучении строения эфира **1a** нами были отмечены некоторые его особенности. В частности, в кристалле наблюдалась заметная делокализация электронной плотности в хинолиновом фрагменте, позволившая предположить, что уже в нейтральных условиях эфир **1a** существует в двух

* Сообщение 108 см. [1].

таутомерных формах: ароматической и 1,2-дигидро с преимущественным вкладом последней [8]. В основной среде вклад ароматического таутомера в резонансный гибрид, очевидно, существенно не изменяется – в результате при алкилировании эфира **1a** с высоким выходом образуется продукт 1-N-замещения **3a**.



В отличие от этого, у структурного аналога 4-метилзамещенного эфира **1a** – этилового эфира 2-оксо-4-хлор-1,2-дигидрохинолин-3-карбоновой кислоты (**1b**), судя по данным РСА, двойная связь C₍₇₎–C₍₈₎ локализована (рисунок, табл. 1, 2). Некоторое же удлинение карбонильной связи C₍₉₎–O₍₁₎ 1.242(4) Å (среднее значение 1.210 Å [9]) можно объяснить не таутомерией, а всего лишь образованием межмолекулярной водородной связи N₍₁₎–H_(1N)...O₍₁₎ ($-1-x$, $2-y$, $1-z$) H...O 1.98 Å, N–H...O 171°. Бициклический фрагмент и атомы O₍₁₎, Cl₍₁₎ лежат в одной плоскости с точностью 0.01 Å. Сложноэфирный заместитель при атоме C₍₈₎ разупорядочен по двум положениям **A** и **B** с заселенностью конформеров 54:46 вследствие вращения вокруг связи C₍₈₎–C₍₁₀₎ и в обоих конформерах развернут практически перпендикулярно плоскости хинолина также, как и в молекуле 4-метилзамещенного эфира **1a** (торсионный угол C₍₇₎–C₍₈₎–C₍₁₀₎–O₍₂₎ –88(1)° **A** и –108(1)° **B**). Этильная группа в конформерах **A** и **B** находится в *ap*-положении относительно связи C₍₁₀₎–C₍₈₎ (торсионный угол C₍₁₁₎–O₍₃₎–C₍₁₀₎–C₍₈₎ –166.3(9)° **A**, –171(1)° **B**). Атом C₍₁₂₎ в конформере **A** находится в положении, промежуточном между *ac* и *ap*, а в конформере **B** – в положении, близком к *+ac* (торсионный угол C₍₁₀₎–O₍₃₎–C₍₁₁₎–C₍₁₂₎ –166(1)° **A**, 147(2)° **B**). При этом в конформере **A** возникает укороченный



Строение молекулы эфира **1b** с нумерацией атомов

внутримолекулярный контакт $\text{H}_{(11b)}\dots\text{O}_{(2a)}$ 2.35 Å (сумма ван-дерваальсовых радиусов 2.46 Å [10]). В молекуле обнаружен также укороченный внутримолекулярный контакт $\text{H}_{(5)}\dots\text{Cl}_{(1)}$ 2.71 Å (3.06 Å). Другими словами, в случае хлорзамещенного эфира **1b** РСА не позволяет утверждать о каком-либо заметном присутствии в кристалле ароматической таутомерной формы. Следовательно, при алкилировании этого хинолона этилиодидом логично было бы ожидать если не исключительного образования N-этилзамещенного соединения **3b**, то, по крайней мере, более высокого его выхода, чем в предыдущем примере. Тем не менее, хроматографическое изучение состава полученной реакционной смеси показало, что соответствующий 2-этоксизомер **4b** все же образуется, а его выход оказался даже несколько выше (31%), чем в случае 4-метильного производного.

4-Аминозамещенный эфир в кристалле также существует исключительно в 1,2-дигидроформе [11]. Но и его реакция с бромистым октилом в системе ДМФА/ K_2CO_3 дает смесь продуктов N- и O-алкилирования, причем уже со значительным преобладанием ароматического 2-алкоксипроизводного [3]. Одной из причин такого результата следовало бы считать достаточно большой размер алкильной группы в октилбромиде. Однако после алкилирования этилового эфира 4-амино-2-оксо-1,2-дигидрохинолин-3-карбоновой кислоты (**1c**) этилиодидом в тех же условиях обнаружены только следы N-этилзамещенного изомера **3c**.

Таким образом, из результатов проведенных исследований следует, что определяемые методом РСА особенности строения сложных эфиров 1Н-2-оксо-1,2-дигидрохинолин-3-карбоновых кислот, к сожалению, мало информативны для прогнозирования направления алкилирования. Такие реакции требуют предварительной ионизации связи N–H, что достигается путем добавления основания и растворителя. Образующиеся при этом анионы общей формулы **2** амбидентны по своей природе. Поэтому реальное соотношение между N- и O-алкильными изомерами при их последующем алкилировании зависит от таутомерного равновесия именно в анионе, а оно, как оказалось, в большинстве случаев существенно отличается от такового в нейтральной молекуле.

Таблица 1
Длины связей (l) в структуре эфира 1b

Связь	$l, \text{ \AA}$	Связь	$l, \text{ \AA}$
Cl ₍₁₎ —C ₍₇₎	1.730(3)	N ₍₁₎ —C ₍₉₎	1.349(4)
N ₍₁₎ —C ₍₁₎	1.375(4)	O ₍₁₎ —C ₍₉₎	1.242(4)
O _(2A) —C ₍₁₀₎	1.206(5)	O _(3A) —C ₍₁₀₎	1.314(7)
O _(3A) —C _(11A)	1.472(9)	C _(11A) —C _(12A)	1.507(9)
O _(2B) —C ₍₁₀₎	1.206(5)	O _(3B) —C ₍₁₀₎	1.322(8)
O _(3B) —C _(11B)	1.464(9)	C _(11B) —C _(12B)	1.51(1)
C ₍₁₎ —C ₍₆₎	1.396(4)	C ₍₁₎ —C ₍₂₎	1.406(4)
C ₍₂₎ —C ₍₃₎	1.360(5)	C ₍₃₎ —C ₍₄₎	1.395(5)
C ₍₄₎ —C ₍₅₎	1.358(5)	C ₍₅₎ —C ₍₆₎	1.404(4)
C ₍₆₎ —C ₍₇₎	1.430(4)	C ₍₇₎ —C ₍₈₎	1.354(4)
C ₍₈₎ —C ₍₉₎	1.456(4)	C ₍₈₎ —C ₍₁₀₎	1.492(4)

Таблица 2
Валентные углы (ω) в структуре эфира 1b

Угол	$\omega, \text{ град.}$	Угол	$\omega, \text{ град.}$
C ₍₉₎ —N ₍₁₎ —C ₍₁₎	124.8(2)	C ₍₁₀₎ —O _(3A) —C _(11A)	111.3(8)
O _(3A) —C _(11A) —C _(12A)	105.5(9)	C ₍₁₀₎ —O _(3B) —C _(11B)	124(1)
O _(3B) —C _(11B) —C _(12B)	102(1)	N ₍₁₎ —C ₍₁₎ —C ₍₆₎	120.6(3)
N ₍₁₎ —C ₍₁₎ —C ₍₂₎	119.3(3)	C ₍₆₎ —C ₍₁₎ —C ₍₂₎	120.1(3)
C ₍₃₎ —C ₍₂₎ —C ₍₁₎	119.5(3)	C ₍₂₎ —C ₍₃₎ —C ₍₄₎	120.7(3)
C ₍₅₎ —C ₍₄₎ —C ₍₃₎	120.3(3)	C ₍₄₎ —C ₍₅₎ —C ₍₆₎	120.7(3)
C ₍₁₎ —C ₍₆₎ —C ₍₅₎	118.6(3)	C ₍₁₎ —C ₍₆₎ —C ₍₇₎	115.9(3)
C ₍₅₎ —C ₍₆₎ —C ₍₇₎	125.5(3)	C ₍₈₎ —C ₍₇₎ —C ₍₆₎	122.8(3)
C ₍₈₎ —C ₍₇₎ —Cl ₍₁₎	118.9(2)	C ₍₆₎ —C ₍₇₎ —Cl ₍₁₎	118.3(2)
C ₍₇₎ —C ₍₈₎ —C ₍₉₎	120.0(2)	C ₍₇₎ —C ₍₈₎ —C ₍₁₀₎	122.6(3)
C ₍₉₎ —C ₍₈₎ —C ₍₁₀₎	117.3(3)	O ₍₁₎ —C ₍₉₎ —N ₍₁₎	121.5(3)
O ₍₁₎ —C ₍₉₎ —C ₍₈₎	122.6(3)	N ₍₁₎ —C ₍₉₎ —C ₍₈₎	115.9(3)
O _(2A) —C ₍₁₀₎ —O _(3A)	125(1)	O _(2B) —C ₍₁₀₎ —O _(3B)	124(1)
O _(2A) —C ₍₁₀₎ —C ₍₈₎	124(1)	O _(2B) —C ₍₁₀₎ —C ₍₈₎	122(1)
O _(3A) —C ₍₁₀₎ —C ₍₈₎	110.3(6)	O _(3B) —C ₍₁₀₎ —C ₍₈₎	113.3(7)

ЭКСПЕРИМЕНТАЛЬНАЯ ЧАСТЬ

Спектры ЯМР ^1H записаны на приборе Varian Mercury VX-200 (200 МГц), растворитель DMSO-d₆, внутренний стандарт ТМС. Хромато-масс-спектрометрические исследования проведены на приборе Varian 1200L в режиме полного сканирования в диапазоне 35–700 m/z , ионизация электронным ударом 70 эВ; хроматографическая колонка CP-SIL 8CB: длина 50 м, внутренний диаметр 0.25 мм, неподвижная фаза – пленка полисилоксана (5% дифенилполисилоксан, 95% диметилполисилоксан) толщиной 0.33 мкм, газ-носитель – гелий, температура инжектора 300 °C, температура ионного источника 250 °C. Синтез этилового эфира 2-оксо-4-хлор-1-этил-1,2-дигидрохинолин-3-карбоновой кислоты (**3b**) приведен в работе [12].

Этиловый эфир 4-метил-2-оксо-1-этил-1,2-дигидрохинолин-3-карбоновой кислоты (2а). К смеси 2.31 г (0.01 моль) этилового эфира 4-метил-2-оксо-1,2-дигидрохинолин-3-карбоновой кислоты (1а) и 2.76 г (0.02 моль) K_2CO_3 в 20 мл ДМФА прибавляют 0.89 мл (0.011 моль) иодэтана и перемешивают 5 ч при 90 °C. Охлаждают, разбавляют реакционную смесь водой. Выделившийся осадок экстрагируют CH_2Cl_2 (3×20 мл). Органические вытяжки объединяют, растворитель отгоняют, остаток подвергают хромато-масс-спектрометрическому анализу. Для разделения образовавшихся продуктов алкилирования реакционную смесь обрабатывают гексаном (3×15 мл). К нерастворившемуся остатку прибавляют 30 мл эфира. Осадок (исходный NH-эфир 1а) отфильтровывают, промывают эфиром, сушат. Получают 0.046 г (2%) эфира 1а. Эфирную вытяжку чистят углем и после отгонки растворителя выделяют 1.63 г (63%) N-этилзамещенного эфира 2а. R_f 0.23 (Silufol UV-254, Et_2O -гексан, 2:1). Т. пл. 72–74 °C (водный этанол). Масс-спектр, m/z ($I_{\text{отн.}}$, %): 259 [M^+] (22), 258 [$\text{M}-\text{H}$]⁺ (8), 230 [$\text{M}-\text{C}_2\text{H}_5$]⁺ (8), 214 [$\text{M}-\text{OEt}$]⁺ (53), 185 [$\text{M}-\text{OEt}-\text{C}_2\text{H}_5$]⁺ (80), 157 [$\text{M}-\text{OEt}-\text{C}_2\text{H}_5-\text{CO}$]⁺ (100), 143 (39), 130 (55), 103 (40), 77 (30). Спектр ЯМР ^1H , δ, м. д. (J , Гц): 7.90 (1Н, д, J = 8.1, H-5), 7.69 (1Н, т, д, J = 7.9 и J = 1.3, H-7), 7.61 (1Н, д, J = 8.3, H-8), 7.33 (1Н, т, д, J = 7.2 и J = 1.5, H-6), 4.29 (4Н, м, $\text{NCH}_2 + \text{OCH}_2$), 2.39 (3Н, с, 4- CH_3), 1.28 (3Н, т, J = 7.0, OCH_2CH_3), 1.19 (3Н, т, J = 7.1, NCH_2CH_3). Найдено, %: C 69.62; H 6.78; N 5.53. $\text{C}_{15}\text{H}_{17}\text{NO}_3$. Вычислено, %: C 69.48; H 6.61; N 5.40.

Этиловый эфир 4-метил-2-этоксихинолин-3-карбоновой кислоты (3а). Оставшийся после выделения N-этилзамещенного эфира 2а гексановый экстракт (см. предыдущий пример) чистят углем, после чего растворитель удаляют. Получают 0.57 г (22%) 2-этоксипроизводного 3а в виде бесцветной маслянистой жидкости. R_f 0.80 (Silufol UV-254, Et_2O -гексан, 2:1). Масс-спектр, m/z ($I_{\text{отн.}}$, %): 259 [M^+] (12), 244 [$\text{M}-\text{CH}_3$]⁺ (9), 230 [$\text{M}-\text{C}_2\text{H}_5$]⁺ (11), 214 [$\text{M}-\text{OEt}$]⁺ (27), 186 [$\text{M}-\text{OEt}-\text{CO}$]⁺ (100), 159 (66), 143 (83), 130 (27), 103 (15), 77 (20). Спектр ЯМР ^1H , δ, м. д. (J , Гц): 8.00 (1Н, д, J = 8.3, H-5), 7.79–7.62 (2Н, м, H-7,8), 7.47 (1Н, т, J = 7.2, H-6), 4.41 (4Н, м, $\text{NCH}_2 + \text{OCH}_2$), 2.55 (3Н, с, 4- CH_3), 1.31 (6Н, м, $\text{OCH}_2\text{CH}_3 + \text{NCH}_2\text{CH}_3$). Найдено, %: C 69.66; H 6.54; N 5.35. $\text{C}_{15}\text{H}_{17}\text{NO}_3$. Вычислено, %: C 69.48; H 6.61; N 5.40.

Алкилирование этиловых эфиров 4-хлор- (1б) и 4-амино- (1с) 2-оксо-1,2-дигидрохинолин-3-карбоновых кислот этилиодидом проводят аналогично без препаративного разделения N- и O-алкильных изомеров. В качестве стандартов при хромато-масс-спектрометрических исследованиях использованы заведомые N-этилзамещенные эфиры 3b,c.

Рентгеноструктурное исследование. Кристаллы эфира 1б, полученные из этанола, триклинические. При 20 °C: a = 6.967(3), b = 7.397(3), c = 11.526(5) Å, α = 76.18(3)°, β = 85.99(4)°, γ = 81.17(3)°, V = 569.6(4) Å³, $d_{\text{выч}}^{\text{1/2}}$ = 1.467 г/см³, пространственная группа $P\bar{1}$, M_r = 251.66, Z = 2, $\mu(\text{MoK}\alpha)$ = 0.330 мм⁻¹, $F(000)$ = 60. Параметры элементарной ячейки и интенсивности 3214 отражений измерены на автоматическом четырехкружном дифрактометре Siemens P3/PC ($\lambda\text{MoK}\alpha$, графитовый монохроматор, 0/2θ-сканирование, $2\theta_{\text{max}} = 60^\circ$).

Обработка экспериментальных данных проведена по методу Блессинга [13]. Структура расшифрована прямым методом по комплексу программ SHELXTL [14]. При уточнении структуры налагались ограничения на длины связей в разупорядоченном фрагменте: $\text{Csp}^2=\text{O}$ 1.210, Csp^2-O 1.33, $\text{O}-\text{Csp}^3$ 1.45 и $\text{Csp}^3-\text{Csp}^3$ 1.52 Å. Положения атомов водорода выявлены из разностного синтеза электронной плотности, а для разупорядоченного фрагмента рассчитаны геометрически и уточнены по модели "наездника" с $U_{\text{изо}} = nU_{\text{экв}}$ неводородного атома, связанного сенным водородным (n = 1.5 для метильных групп и n = 1.2 для остальных атомов водорода). Структура уточнена по F^2 полноматричным МНК в анизотропном приближении для неводородных атомов до wR_2 = 0.186 по 2923 отражениям (R_1 = 0.077 по 1765 отражениям с $F > 4\sigma$ (F), S = 1.060). Полная кристаллографическая информация депонирована в Кембриджском банке структурных данных (депонент № CCDC 283293). Межатомные расстояния и валентные углы представлены в табл. 1, 2.

Этиловый эфир 4-амино-2-оксо-1-этил-1,2-дигидрохинолин-3-карбоновой кислоты (3с) получают по известной методике [3]. Выход 75%. Т. пл. 200–202 °C (этанол). Спектр ЯМР ^1H , δ, м. д. (J , Гц): 8.16 (1Н, д, J = 8.1, H-5), 8.01 (2Н, с, 4-NH₂), 7.64 (1Н, т, J = 7.8, H-7), 7.43 (1Н, д, J = 8.6, H-8), 7.21 (1Н, т, J = 7.5, H-6), 4.28–4.08 (4Н, м, $\text{NCH}_2 + \text{OCH}_2$), 1.25 (3Н, т, J = 7.1, CH_3), 1.12 (3Н, т, J = 6.9, CH_3). Масс-спектр (прямой ввод), m/z ($I_{\text{отн.}}$, %): 260 [M^+] (74), 259 [$\text{M}-\text{H}$]⁺ (54), 232 [$\text{M}-\text{CO}$]⁺ (23), 214 [$\text{M}-\text{EtOH}$]⁺ (22), 213 [$\text{M}-\text{H}-\text{EtOH}$]⁺

(51), 188 [M-COOEt]⁺ (40), 187 [M-H-COOEt]⁺ (36), 171 (37), 158 (100), 131 (33), 116 (46), 104 (82), 77 (76). Найдено, %: C 64.51; H 6.32; N 10.84. C₁₄H₁₆N₂O₃. Вычислено, %: C 64.60; H 6.20; N 10.76.

СПИСОК ЛИТЕРАТУРЫ

1. И. В. Украинец, Л. В. Сидоренко, О. В. Горохова, О. В. Шишкин, А. В. Туров, *XGC*, 1391 (2006).
2. A. Chilin, G. Dodoni, C. Frezza, A. Guiotto, V. Barbieri, F. Di Lisa, M. Canton, *J. Med. Chem.*, **48**, 192 (2005).
3. И. В. Украинец, Л. В. Сидоренко, О. В. Горохова, *XGC*, 1355 (2005). [*Chem. Heterocycl. Comp.*, **41**, 1151 (2005)].
4. И. В. Украинец, С. Г. Таран, О. В. Горохова, И. В. Горлачева, П. А. Безуглый, А. В. Туров, *XGC*, 1104 (1996). [*Chem. Heterocycl. Comp.*, **32**, 952 (1996)].
5. E. F. Scriven, in *Comprehensive Heterocyclic Chemistry on CD-ROM: 8-Volume Set*, A. R. Katritzky and C. W. Rees (Eds.), Pergamon Press, 1998, vol. 2, p. 165.
6. А. Ф. Пожарский, *Теоретические основы химии гетероциклов*, Химия, Москва, 1985.
7. *Гетероциклические соединения*, под ред. Р. Эльдерфилда, Изд-во иностр. лит., Москва, 1955, т. 4, с. 108.
8. И. В. Украинец, Л. В. Сидоренко, О. В. Горохова, С. В. Шишкина, *XGC*, 887 (2006).
9. H.-B. Burgi, J. D. Dunitz, *Struct. Correl.*, VCH, Weinheim, 1994, vol. 2, 741.
10. Ю. В. Зефиров, *Кристаллография*, **42**, 936 (1997).
11. V. B. Rybakov, V. V. Chernyshev, I. V. Ukrainianets, P. A. Bezugly, L. V. Sidorenko, N. Skaif, *Acta Crystallogr.*, **E59**, o412 (2003).
12. И. В. Украинец, С. Г. Таран, О. В. Горохова, Н. А. Марусенко, С. Н. Коваленко, А. В. Туров, Н. И. Филимонова, С. М. Ивков, *XGC*, 195 (1995). [*Chem. Heterocycl. Comp.*, **31**, 167 (1995)].
13. R. H. Blessing, *J. Appl. Crystallogr.*, **22**, 396 (1989).
14. G. M. Sheldrick, *SHELXTL PLUS. PC Version. A System of Computer Programs for the Determination of Crystal Structure from X-ray Diffraction Data*. Rev. 5.1 (1998).

Национальный фармацевтический университет,
Харьков, 61002, Украина
e-mail: uiv@kharkov.ua

Поступило 27.06.2005

^aИнститут сцинтиляционных материалов
НАН Украины, Харьков 61001
e-mail: sveta@xray.isc.kharkov.com